

# بررسی نیمه صنعتی میزان نفوذ، انتشار و رسوب گذاری سیالات حفاری سبک وزن در بستر دریا و تاثیر زیست محیطی آن

## پژوهش‌نفت

سال بیست و سوم

شماره ۷۳

صفحه ۱۴۶-۱۳۴، ۱۳۹۲

تاریخ دریافت مقاله: ۹۰/۱۲/۶

تاریخ پذیرش مقاله: ۹۱/۱/۱۴

محمد سلیمانی<sup>۱\*</sup> و حسین مروتی<sup>۱</sup>

۱- پژوهشگاه صنعت نفت

۲- دانشگاه آزاد واحد تهران شمال - دانشکده علوم و فنون دریایی

[soleymanim@ripi.ir](mailto:soleymanim@ripi.ir)

می‌باشد. پس از گذشت ۲۴۰ ثانیه، با رقیق شدن در آب محیط، سیالات حفاری تا نزدیکی سطح آب بالا آمده و در همین مسیر حرکت می‌نمایند. اگر سیالی با دانسیته  $65 \text{ lb/ft}^3$  از بالای سطح آب تخلیه شود، در سرعت‌های جريانی  $0/025 \text{ m/sec}$ ،  $0/05 \text{ m/sec}$ ،  $0/1 \text{ m/sec}$  و  $0/4 \text{ m/sec}$  به ترتیب تا عمق  $50$ ،  $45$  و  $50$  سانتی‌متر نفوذ می‌کند. در صورت تخلیه سیال از زیر سطح آب در سرعت‌های فوق، سیال تخلیه شده، پس از  $5$ ،  $30$  و  $90$  دقیقه به عمق  $50$  سانتی‌متری رسیده و با گذشت زمان  $90$  دقیقه از تحت جریانات مختلف آب، در همان عمق ادامه مسیر می‌دهد. ذرات جامد سیالات در نرخ جریان آب  $0/025 \text{ m/sec}$  سرعت سقوط کمتری داشته ولی در نرخ  $0/05 \text{ m/sec}$  با سرعت  $7 \text{ m/sec}$  در محیط سقوط می‌کنند.

واژه‌های کلیدی: سیالات حفاری، حفاری دریایی، نفوذ سیالات حفاری، پسماندهای حفاری، پلوم

## چکیده

در این مقاله سعی شده است ضمن اشاره کلی به نقش سیالات حفاری در دستیابی به مواد هیدرولوگرینی، به نتایج آزمایشگاهی تأثیر نرخ جریانهای مختلف آب محیط دریایی که در آنجا عملیات حفاری انجام می‌گیرد، بر میزان نفوذ عمقی و رسوب در بستر دریا از دیدگاه آزمایشگاهی مورد بررسی قرار داده شود. سیالات حفاری پس از رسیدن به انتهای چاه و نازل‌های متنه، بریده‌های سنگ سازند را در خود معلق نگهداشت و پس از فرازآوری در خشکی و یا دریا دورریز می‌کند. این حجم زیاد دورریزها در مناطق دریایی با توجه به محدودیت جا و همچنین استفاده از یک سکو و دکل برای حفر چندین حلقه چاه، در سطح دریا پراکنده شده و به عمق وسیعی از دریا نفوذ می‌کند. در این پژوهش، تأثیر ارتفاع و شدت تخلیه بر میزان نفوذ سیالات حفاری سبک بررسی گردید. نتایج آزمایشات نشان داد که میزان نفوذ عمقی در صورت تخلیه سیالی با دانسیته  $45 \text{ lb/ft}^3$  از سه موقعیت بالا، سطح و زیر سطح آب و با سرعت جریانی  $0/05 \text{ m/sec}$ ،  $0/1 \text{ m/sec}$  و  $0/4 \text{ m/sec}$ ، به ترتیب برابر  $(10, 15, 20)$ ،  $(5, 10, 15)$  و  $(5, 10, 15)$  سانتی‌متر

## مقدمه

دریا پراکنده شده و تا عمق زیادی نفوذ می‌کند [۲].

## مراحل عملی انجام آزمایشات

تهیه فلوم: با توجه به اهمیت موضوع، لازم است میزان نفوذ، انتشار و توزیع ذرات جامد و سایر ترکیبات و مواد تشکیل دهنده سیالات حفاری در محیط‌های دریایی مورد مطالعه قرار گیرد بدین منظور فلومی با مشخصات مورد نیاز تهیه و آزمایشات مورد نظر انجام گردید.

تهیه سیالات حفاری پایه آبی

با توجه به اطلاعات به دست آمده از حفاری‌های روزانه و نیز تجارب آزمایشگاهی و میدانی، فرمولاسیون سیالات حفاری بر اساس شرایط میدان‌های مناطق دریایی کشور مطابق جدول ۱ تهیه گردید. در این پژوهش، هدف بررسی شرایط نفوذ سیالات سبک (کم جامد) در محیط‌های دریایی است، لذا سیالاتی با دانسیته  $lb/ft^3$  ۴۵ و ۶۵ انتخاب گردید [۳].

در شکل ۱ نیز سیالات تهیه شده با دانسیته  $lb/ft^3$  ۴۵ و ۶۵ پوند بر فوت مکعب مشاهده می‌شود.

## اندازه‌گیری خواص سیالات

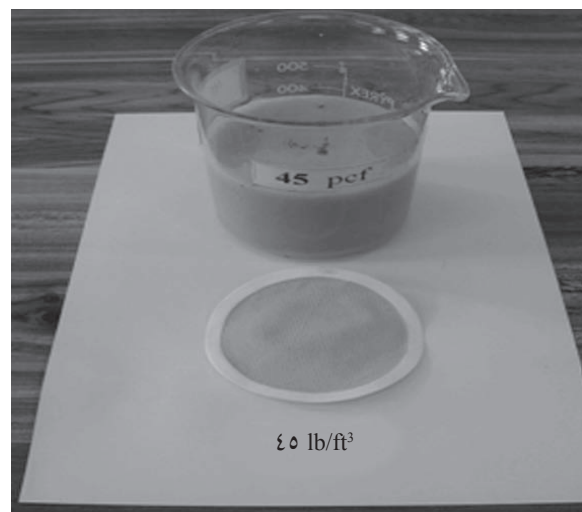
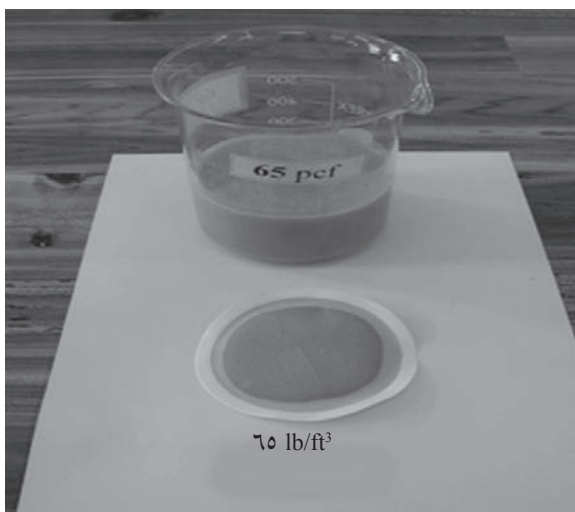
خواص مورد نظر شامل گرانروی ظاهری، گرانروی پلاستیکی، دانسیته و میزان افت صافی که علایم آنها در بخش مربوطه توضیح داده خواهد شد، توسط دستگاه‌های موجود در آزمایشگاه‌های واحد حفاری پژوهشگاه صنعت نفت اندازه‌گیری گردید که مقادیر آن در جدول ۱ ارائه شده است.

سیالات حفاری<sup>۱</sup> یکی از نیازهای اساسی عملیات حفاری و اکتشافات هیدرولوکرینی در اعمق زمین می‌باشد. سیالات حفاری ترکیبی از خاک رس، مواد شیمیایی مختلف و آب است که یک سیستم کلوئیدی با دو فاز مایع و جامد را تشکیل می‌دهد [۱]. در صورت استفاده از آب به عنوان فاز مایع، سیال حفاری را پایه آبی می‌نامند و اگر از گازویل یا هر نوع روغن معدنی به عنوان فاز مایع در سیال حفاری استفاده شود، پایه روغنی<sup>۲</sup> نامیده می‌شود. از سیالات پایه روغنی در شرایط خاصی استفاده شده و تخلیه آن در محیط باید کاملاً محدود گردد. به طور کلی سیالات حفاری بر مبنای پایه آنها (فاز اصلی) به سه گروه آبی، روغنی و گل‌های با فاز اصلی گاز تقسیم می‌شوند. در بسیاری از موارد مخلوطی از دو و یا سه گروه فوق به طور همزمان حضور دارند و هر کدام تأمین کننده بخشی از خصوصیات سیال حفاری می‌باشند. چنین سیالاتی ضمن انجام وظایف متعدد در عملیات حفاری از قبیل: خنک کردن رشته‌ها و متنه حفاری، پایدارسازی دیواره چاه، انتقال بریده‌های حفاری و همچنین تمیز نمودن مناطق عملیات حفاری، کمک مؤثری به اکتشافات موادهیدرولوکرینی در اعمق زیاد می‌نماید. سیالات حفاری پس از رسیدن به انتهای چاه و تماس با نازل‌های متنه، بریده‌های سنگ سازند<sup>۳</sup> را در خود معلق نگهداشته و سپس در خشکی و یا دریا دور ریز می‌کند. این دور ریزها در مناطق دریایی به دلیل حجم زیاد و با توجه به محدودیت جا و همچنین استفاده از یک سکو و دکل برای حفر چندین حلقه چاه، در سطح وسیعی از

جدول ۱- ترکیبات و خواص رئولوژیکی سیالات حفاری

وزن مخصوصی سیال حفاری ( $lb/ft^3$ )	ترکیبات						خواص رئولوژیکی				
	فاز مایع	فاز جامد	گرانروی ساز	کاهنده افت صافی	وزن افزا	تعديل وزن	AV (cP)	PV (cP)	YP ( $lb/100 ft^2$ )	FL (cc/30min)	گرانروی (sec) قیفی
۴۵	آب	بتنویت	پلیمر	پلیمر	---	فوم	۲۵	۱۵	۲۰	۱۳	۸۰
۶۵	آب	بتنویت	پلیمر	پلیمر	---	---	۱۷/۵	۸	۱۹	۱۴	۱۲۰

1. Drilling Fluids
2. Oil Base Mud
3. Cuttings



شکل ۱- سیالات حفاری ( $45 \text{ lb/ft}^3$  و  $65 \text{ lb/ft}^3$ ) مورد استفاده در مطالعه نفوذ پلوم

استفاده در آزمایشات مشاهده می‌شود. نسبت رقیق شدگی سیالات حفاری بر اساس تجارب آزمایشگاهی و مشاوره با متخصصین بخش زیست محیطی انتخاب شده است.

هدف از انجام این آزمایش، دست‌یابی به میزان درصد مواد کلوئیدی یا فاز جامدات معلق (SSP) است که در مسیر جریان آب دریا هنگام تخلیه پسماند به وجود می‌آید. لازم به توضیح است که وجود مواد پلیمری در سیال حفاری مصرفی باعث شده که مخلوط‌های سیال با آب دریا پس از اختلاطه، فاز کلوئیدی پایداری تشکیل دهد. همان‌گونه که در جدول ۲ ملاحظه می‌شود، در پسماند حفاری، دو فاز، و در مخلوط‌های پسماند با آب دریا، سه فاز تشکیل گردیده است.

بررسی میزان رقیق شدگی و نرخ رسوب‌گذاری سیالات حفاری به هنگام حفاری، سیالات در یک سیکل بسته از مخازن تهیه، شروع و تا انتهای مته در محل حفاری در اعماق پایین و فضای حلقوی و روی الکهای لرزان ریخته شده و نهایتاً به محل ابتدایی بر می‌گردد. لذا در این فاصله مقداری از آن در محیط دور ریز می‌شود که می‌توان میزان رقیق شدگی و ته نشست ترکیبات آن را در آزمایشگاه بررسی و ثبت نمود. سیالات و پسماندهای حفاری فوق جهت انجام تست‌های مختلف مطابق جداول ۲ تا ۵ با آب دریا مخلوط گردیده و نرخ رسوب‌گذاری پسماند حفاری تولیدی و مخلوط پسماند مذکور با آب دریا به نسبت‌های ۱:۹، ۲:۳ و ۲:۲ در محیط آزمایشگاه در زمان‌های متعدد نرخ رسوب‌گذاری مورد ارزیابی قرار گرفت. در شکل ۲ ابزار مورد

جدول ۲- نرخ رسوب‌گذاری پسماند حفاری و مخلوط آن با آب دریا

ماهیت	فاز	پایان ۲۴ ساعت	پایان ۴۸ ساعت	پایان ۷۲ ساعت
پسماند حفاری	فاز شفاف	% ۸	% ۲۰	% ۲۲
	فاز معلق	% ۰/۰	% ۰/۰	% ۰/۰
	فاز جامد	% ۹۲	% ۸۰	% ۷۸
مخلوط پسماند با آب دریا ۱:۹	فاز شفاف	% ۵	% ۱۰	% ۱۵
	فاز معلق	% ۸۷	% ۸۲	% ۷۷
	فاز جامد	% ۸	% ۸	% ۸
مخلوط پسماند با آب دریا ۱:۹	فاز شفاف	% ۱۰	% ۲۰	% ۳۰
	فاز معلق	% ۸۵	% ۷۶	% ۶۶
	فاز جامد	% ۴	% ۴	% ۴

جدول ۳- نرخ رسوب‌گذاری سیالات حفاری و تفکیک فازهای آنها (با نسبت ۱:۴)

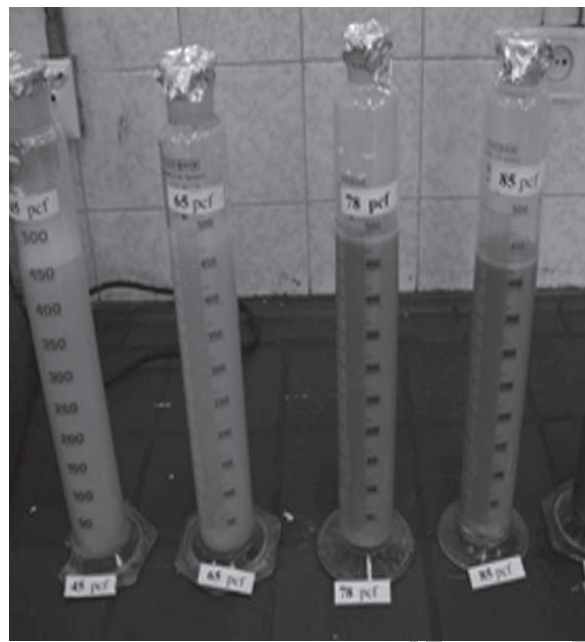
وزن مخصوص PCF سیال	فاز	زمان (ساعت)								حجم کل cc
		۰/۵	۱	۲	۴	۶	۱۲	۲۴	۷۲	
۴۵	شفافیت	---	کف	-	-	-	جزئی	جزئی	۱۰	۴۶۵
	کلونیدی	---	۴۵۵	-	-	-	۴۵۵	۴۵۵	۴۵۰	
	جامدات	---	-	-	-	-	۵	۵	۵	
۶۵	شفافیت	---	کمی	-	-	-	۵	۵	۱۵	۴۹۵
	کلونیدی	---	۴۹۵	-	-	-	۴۸۰	۴۸۰	۴۷۵	
	جامدات	---	-	-	-	-	۵	۵	۵	

جدول ۴- نرخ رسوب‌گذاری سیالات حفاری و تفکیک فازهای آنها (با نسبت ۱:۹)

وزن مخصوص PCF سیال	فاز	زمان (ساعت)								حجم کل cc
		۰/۵	۱	۲	۴	۶	۱۲	۲۴	۷۲	
۴۵	شفافیت	۱۵	کف	۲۰	-	-	۲۵	۳۰	-	۴۷۰
	کلونیدی	۴۸۵	۴۸۲	۴۶۵	-	-	۴۶۰	۴۰۲	-	
	جامدات	جامد	جامد	۲	-	-	۳	۳	-	
۶۵	شفافیت	۲۵	۳۵	۳۰	-	-	۳۵	۴۰	-	۴۹۰
	کلونیدی	۴۷۰	۴۶۰	۴۶۳	-	-	۴۵۵	۴۰۲	-	
	جامدات	جامد	جامد	۲	-	-	جزئی	۳	-	

جدول ۵- نرخ رسوب‌گذاری سیالات حفاری و تفکیک فازهای آنها (با نسبت ۲:۳)

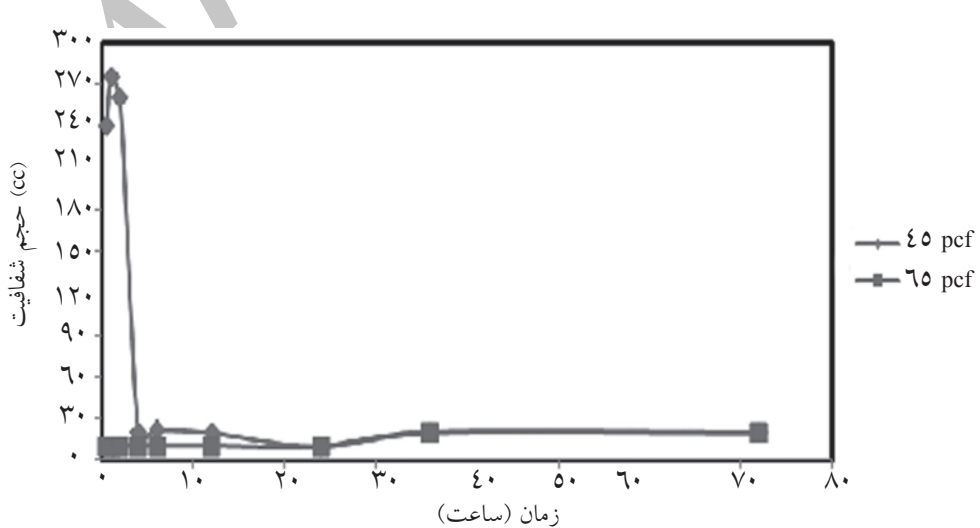
وزن مخصوص PCF سیال	فاز	زمان (ساعت)								حجم کل cc
		۰/۵	۱	۲	۴	۶	۱۲	۲۴	۷۲	
۴۵	شفافیت		کف ۲۷۵	---	کف ۲۰	-	-	۱۰		۲۰
	کلونیدی		۲۳۵	---	۴۵۵	-	-			۷۵۰ با کف
	جامدات		---	---	جزئی	-	۲۰	۱۰		
۶۵	شفافیت		۱۰	---	۱۰	-		۱۰		۲۰
	کلونیدی		۴۶۰	---	۴۹۳	-	۴۶۵			۴۷۵
	جامدات		---	---	۲	-	۱۰	۱۰		



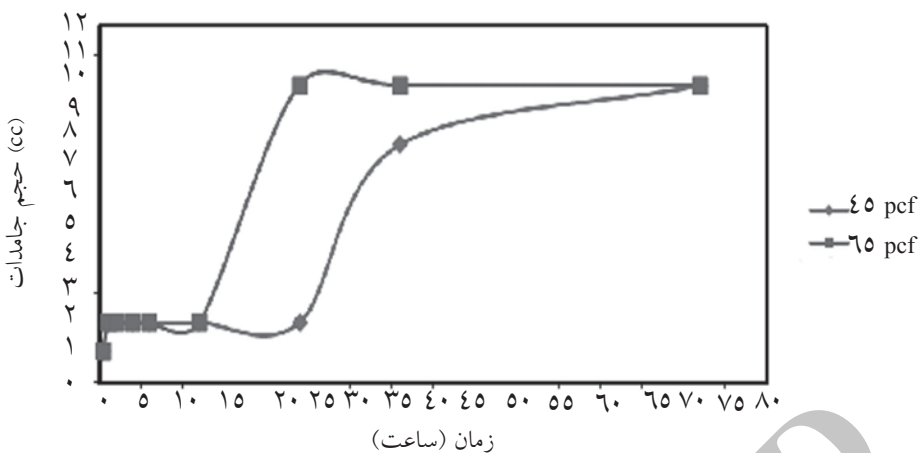
شکل ۲- اندازه گیری رسوب گذاری و رقیق شوندگی سیالات حفاری

در شکل ۴، حجم رسوبات جامد سیالات حفاری با دانسیته  $65 \text{ lb/ft}^3$  و  $45$  که به نسبت  $2:3$  با آب دریا رقیق شده، در بستر دریا مقایسه شده است. همان گونه که مشاهده می شود، با گذشت زمان حجم رسوبات جامد افزایش یافته و پس از  $75$  ساعت، از  $2\%$  اولیه به مقدار  $10\%$  رسید. این رسوبات در مقایس بزرگ همان لایه های رسوبی ضخیمی هستند که در بستر دریا (محیط های حفاری) تشکیل می شوند.

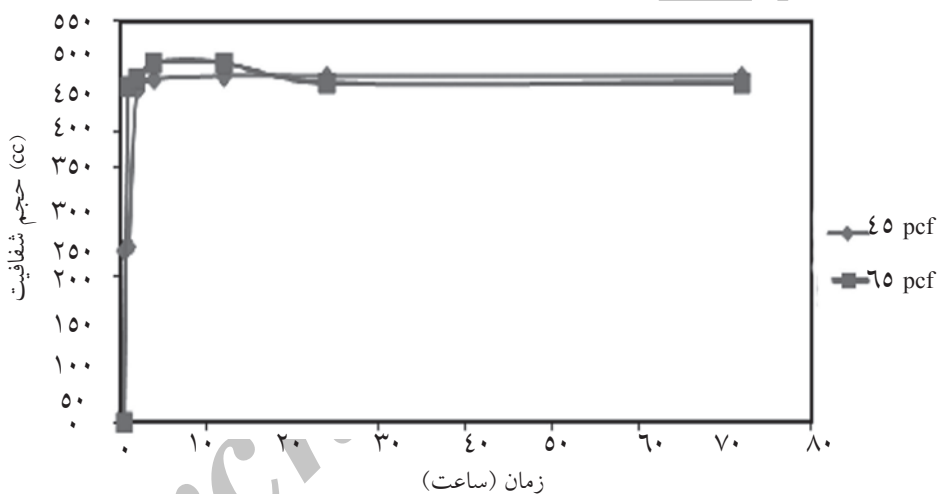
در شکل های ۳ تا ۵ مقایسه حجم رسوبات سیالات حفاری برای  $65 \text{ lb/ft}^3$  و  $45$  که به نسبت  $2:3$  با آب دریا رقیق شده است، مشاهده می شود. سیالات حفاری فوق، هنگام نفوذ و ورود محیط های دریایی رقیق شده و خواص ظاهری خود را از دست می دهد. همان گونه که در شکل ۳ مشاهده می شود، حجم شفافیت ترکیب با نسبت  $2:3$ ، با گذشت زمان کاهش یافته و نهایتاً پس از  $5$  ساعت به میزان ثابتی می رسد.



شکل ۳- مقایسه حجم رسوبات شفاف سیالات حفاری با دانسیته  $65 \text{ lb/ft}^3$  و  $45$  رقیق شده با آب دریا به نسبت  $2:3$



شکل ۴- مقایسه حجم رسوبات جامد سیالات حفاری با دانسیته  $65 \text{ lb/ft}^3$  و  $45 \text{ lb/ft}^3$  رقیق شده با آب دریا به نسبت ۲:۳



شکل ۵- مقایسه حجم رسوبات کلوینیدی سیالات حفاری با دانسیته  $65 \text{ lb/ft}^3$  و  $45 \text{ lb/ft}^3$  رقیق شده با آب دریا به نسبت ۲:۳

ترکیبات مختلف نقش اساسی داشته‌اند، باعث رسوب حجم زیادی از پسماندها در بستر دریا می‌شود و پیامدهای زیست محیطی خطرناکی دارد. به همین دلیل امروزه سعی شده از دستگاه‌های تصفیه پسماندهای حفاری سر چاهه استفاده شود.

#### دستگاه و وسایل مورد نیاز

فلوم مورد استفاده در این پژوهش که متعلق به مرکز تحقیقات خاک و آبخیز داری وزارت جهاد کشاورزی است، در شکل ۷ مشاهده می‌شود.

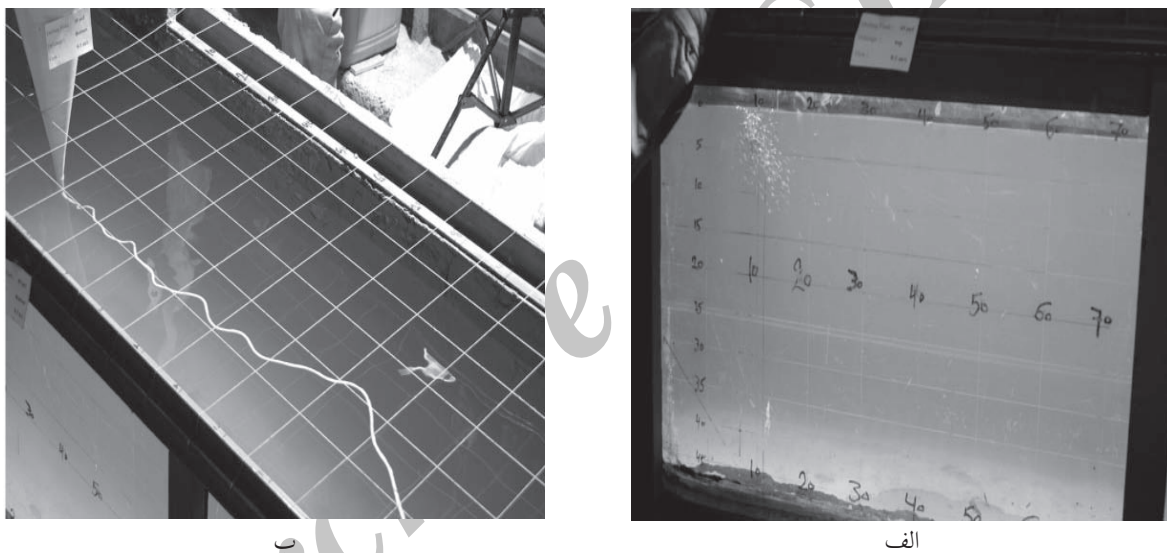
در شکل ۵، مقایسه حجم رسوبات فاز کلوینیدی سیالات حفاری با دانسیته  $65 \text{ lb/ft}^3$  و  $45 \text{ lb/ft}^3$  رقیق شده با آب دریا به نسبت ۲:۳، مشاهده می‌شود. در هر دو سیستم در ۵ ساعت اولیه، حجم فاز کلوینیدی به  $500 \text{ cc}$  رسیده و سپس ثابت می‌شود.

#### انجام آزمایشات میزان نفوذ

در شکل ۶، شماتیکی از نفوذ و انتشار سیالات و دورریزهای حفاری پس از تخلیه در محیط‌های دریابی مشاهده می‌شود. این شکل نشان می‌دهد که عملیات حفاری در محیط‌های آبی که در آن سیالات حفاری با



شکل ۶- نیميخ نحوه نفوذ، انتشار و رسو بسیالات و دورریزهای حفاری پس از تخلیه در محیطهای دریایی



شکل ۷- فلوم مورد استفاده (الف) نمای از بالا به همراه محل تخلیه سیال حفاری

- تغییر بوده و حرکت می‌نماید.
- زمان سنج: برای ثبت سرعت سقوط ذرات حفاری
- دوربین: به دلیل روی دادن سریع پدیده‌ها، نصب دوربین در محلهای مختلف ضروری است. لذا دوربینی در سمت عمود بر محل دورریز و نیز سطح دریا به طور ثابت نصب گردید. تا بتوان در لحظات مختلف حرکت و نفوذ سیال درون دریا فیلم‌برداری نمود. همچنین از دوربین‌های دیجیتالی و فیلم‌برداری دیگر برای ثبت اتفاقات در جهات مختلف استفاده گردید.
- انتخاب فلوم: با توجه به امکانات موجود، یک فلوم که طول و عرض و ارتفاع آن به ترتیب  $۳/۰\text{ m}$  و  $۰/۵\text{ m}$  می‌باشد انتخاب شد.

دارا بودن ابعاد مناسب (با فرض نیمه صنعتی بودن) و داشتن پمپ‌های جریان دهنده آب با نرخ متفاوت از قابلیت‌های ویژه سیستم محسوب می‌شود. بر اساس نحوه حرکت و میزان دورریز پسماندهای حفاری در مناطق دریایی کشور، امکانات زیر آماده‌سازی گردید:

- قیف مارش با استاندارد حفاری، مشخص شده در قسمت (ب) شکل ۷، که برای تخلیه سیال به درون محیط دریایی از آن استفاده شد.

- محل نصب قیف: از آنجایی که سیال در ۳ حالت مختلف درون محیط تخلیه می‌شود، در بالای فلوم مکانی انتخاب و قیف در آنجا نصب گردید، به طوری که در ۳ حالت مختلف (بالای سطح آب، سطح آب و زیر سطح آب) قابل

## اندازه‌گیری پارامترها و مشاهده پدیده انتشار پارامترهای اندازه‌گیری شده

سیالات مورد استفاده تهیه شد. سپس هرکدام به طور جداگانه از ۳ موقعیت ریزش (بالا، سطح و زیر سطح آب) در محیط تخلیه گردید [۴ و ۵]. با گذشت زمان پارامترهای انتخابی (مدت تخلیه، زمان آزمایش، سرعت سقوط ترکیبات سیال، فاصله ته نشینی از نقطه تخلیه و سرعت سقوط کنده‌های حفاری) در سرعت‌های جریانی مختلف آب محیط که در فلوم ایجاد می‌شد، اندازه‌گیری گردید که نتایج آن در جداول ۶ تا ۹ ارائه شده است. در شکل‌های ۸ تا ۱۰ تغییرات پارامترهای اندازه‌گیری شده مشاهده می‌شود.

## سرعت سنج روش انجام آزمایش

سیالات تهیه شده به محل منتقل شده و تسهیلات مورد نیاز با توجه به شرایط آزمایش‌ها نصب گردید. با توجه به انجام آزمایش در شرایط واقعی میدان و نیز شرایط آزمایشگاه، تصمیم بر آن شد که در ۴ سرعت جریانی ۰/۰۲۵، ۰/۰۵، ۰/۰۷ و ۰/۱ m/s تست‌ها انجام گیرد [۳ و ۴]. لذا محاسبات با توجه به توانایی پمپ‌های آب موجود برای این چهار سرعت جریان انجام گردید. با توجه به مشخص بودن دبی آب، سرعت جریان از طریق تقسیم دبی آب به سطح مقطع فلوم محاسبه گردید. مقدار سرعت جریان محاسباتی با آنچه که توسط جریان سنج اندازه‌گیری شد، کاملاً مطابقت داشت.

جدول ۶- پارامترهای اندازه‌گیری شده سیالات حفاری در ۰/۰۵ m/s در زمان‌های مختلف پس از تخلیه

وزن مخصوص سیال (lb/ft <sup>3</sup> )	محل تخلیه	مدت تخلیه (Sec)	زمان تست (min)	سرعت سقوط ترکیبات سیال	فاصله ته نشینی از نقطه تخلیه (m)	سرعت سقوط کنده‌ها (cms <sup>-1</sup> )	درشت
۴۵	بالای سطح آب	-	-	-	--	۰/۰۷	۷
	سطح آب	-	-	-	---		
	زیر سطح آب	-	-	-	---		
۶۵	بالای سطح آب	۶۰	۶۵	۷/۷	۱۰۰	۰/۱	۱
	سطح آب		---	----	----		
	زیر سطح آب	۱۸۰	۲۰۰	۷	۷۰		

جدول ۷- پارامترهای اندازه‌گیری شده سیالات حفاری در ۰/۰۲۵ m/s در زمان‌های مختلف پس از تخلیه

وزن مخصوص سیال (lb/ft <sup>3</sup> )	ارتفاع تخلیه (cm)	مدت تخلیه (Sec)	زمان تست (min)	سرعت سقوط ترکیبات سیال	فاصله ته نشینی از نقطه تخلیه (m)	سرعت سقوط کنده‌ها (cms <sup>-1</sup> )	درشت
۴۵	بالای سطح آب	-	-	-	----	۰/۰۵	۲
	سطح آب	-	-	-	۱۰۰		
	زیر سطح آب	-	-	-	----		
۶۵	بالای سطح آب	-	۶۰	۶۵	۷۰	۰/۱	۱
	سطح آب	-		---	----		
	زیر سطح آب	-	۱۸۰	۲۰۰	----		

# پژوهش نفت

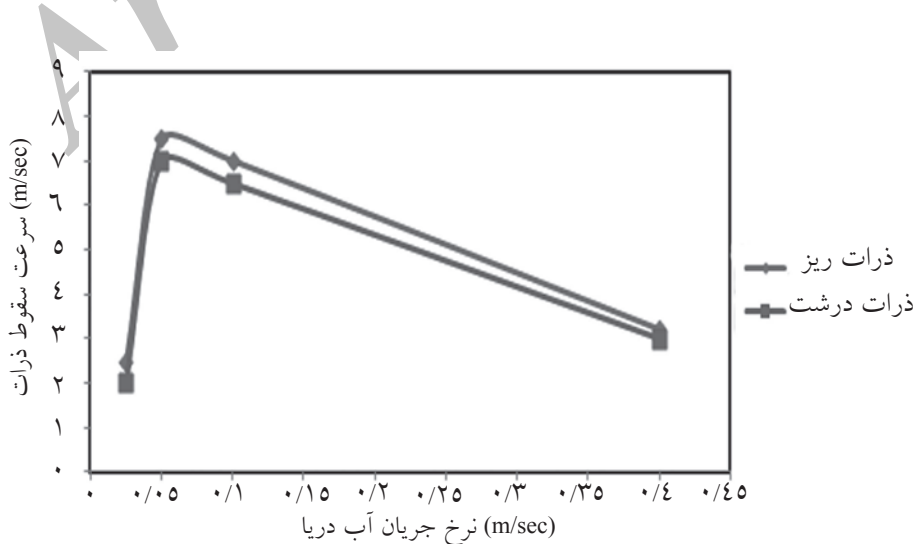
• شماره ۷۳

جدول ۸- پارامترهای اندازه‌گیری شده سیالات حفاری در  $m/s$  ۱ در زمان‌های مختلف پس از تخلیه

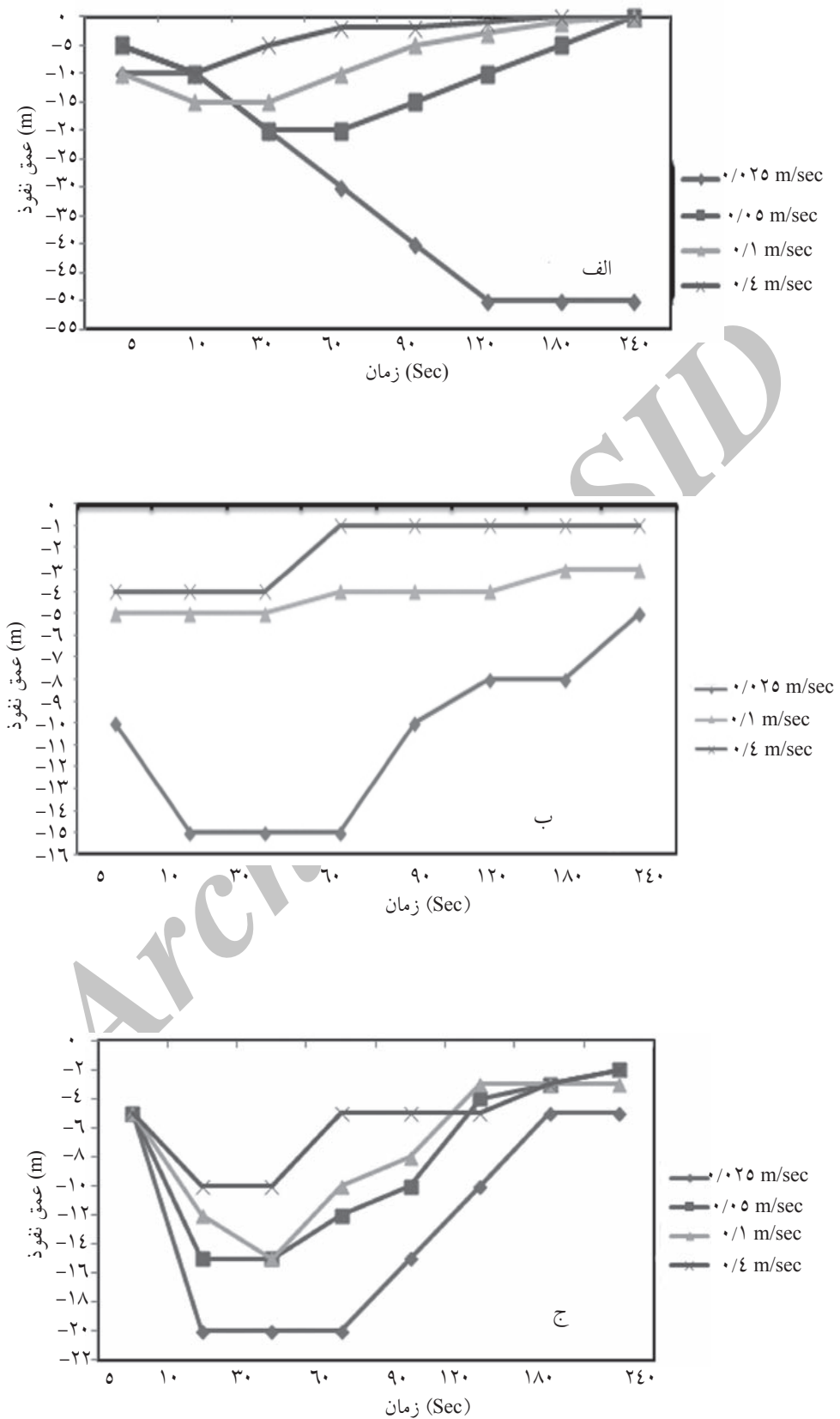
وزن مخصوص سیال ( $lb/ft^3$ )	ارتفاع تخلیه (m)	مدت تخلیه (Sec)	سرعت سقوط ترکیبات سیال	فاصله ته نشینی از نقطه تخلیه (m)	سرعت سقوط کنده‌ها ( $cms^{-1}$ )
۴۵	بالای سطح آب	۱۰۵	۲/۷	۲۵۰	درشت ریز ۷/۵
	سطح آب	۱۲۰	-	روی سطح	
	زیر سطح آب	۲۶۰	-	روی سطح	
۶۵	بالای سطح آب	۸۰	۳/۳	۱۷۰	۷
	سطح آب	۸۸	۳/۳	۱۷۰	
	زیر سطح آب	۲۴۰	۳/۳	۲۲۰	

جدول ۹- پارامترهای اندازه‌گیری شده سیالات حفاری در  $m/s$  ۰/۴ در زمان‌های مختلف پس از تخلیه

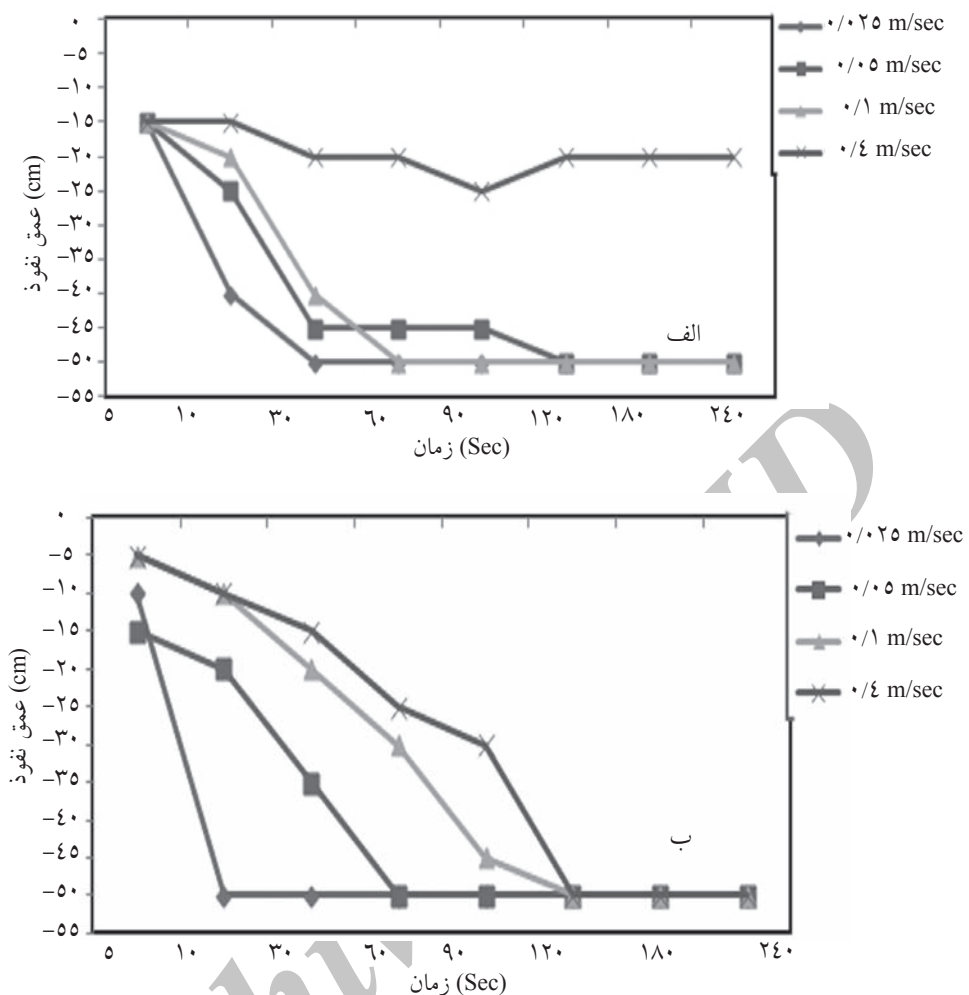
وزن مخصوص سیال ( $lb/ft^3$ )	ارتفاع تخلیه (m)	مدت تخلیه (Sec)	سرعت سقوط ترکیبات سیال	فاصله ته نشینی از نقطه تخلیه (m)	سرعت سقوط کنده‌ها ( $cms^{-1}$ )
۴۵	بالای سطح آب	۸۵	۵	۳۰۰	درشت ریز ۳/۲
	سطح آب	۹۵	۵	روی سطح	
	زیر سطح آب	۱۸۰	۵	روی سطح	
۶۵	بالای سطح آب	۷۵	۶/۶	۲۶۰	۳
	سطح آب	۸۰	۶/۲	۲۸۰	
	زیر سطح آب	۱۸۰	۵	۳۰۰	



شکل ۸- سرعت سقوط کنده‌های حفاری در سرعت جریان مختلف آب دریا



شکل ۹- میزان عمق نفوذ سیال با دانسیته  $45 \text{ lb/ft}^3$  در سرعت‌های مختلف جریان آب (الف) ریزش از بالا، (ب) ریزش از سطح و (ج) ریزش از زیر سطح آب



شکل ۱۰- میزان عمق نفوذ سیال با دانسیته  $65 \text{ lb/ft}^3$  در زمان و سرعت های مختلف جریان آب (الف) ریزش از بال و (ب) ریزش از زیر سطح آب

و حرکت به صورت پیوسته در مسیر نزدیک سطوح آب ادامه می یابد و نهایتاً جامدات آن در فواصل دورتر (در مقایسه با جریان آب با سرعت  $0.025 \text{ m/sec}$ ) پخش شده و آثاری از سقوط ته نشست در آن مشاهده نمی شود.

اگر سیال از بالای سطح آب تخلیه شود، در سرعت های جریانی  $0.05$ ،  $0.1$  و  $0.4 \text{ m/sec}$  به ترتیب  $10$ ،  $15$  و  $20 \text{ m}$  در عمق آب نفوذ کرده و پس از ۴ دقیقه به سطح آب بر گشته و پخش می شود ولی سرعت آب  $0.025 \text{ m/sec}$  ترکیبات سیال را تا عمق  $50 \text{ m}$  نفوذ کرده و با گذشت زمان در همان عمق به مسیر حرکتی ثابت ادامه می دهد (شکل ۹ الف).

میزان نفوذ عمقی سیال حفاری با دانسیته  $45 \text{ lb/ft}^3$  ناشی از تأثیر جریانات آب با سرعت  $0.025$ ،  $0.05$ ،  $0.1$  و  $0.4 \text{ m/sec}$

به منظور بررسی سرعت سقوط کنده های حفاری، دو نمونه در اندازه های ریز و درشت انتخاب شد . سپس نمونه ها در شرایط جریانات مختلف آب دریا رها شده و زمان لازم برای سقوط در بستر محیط اندازه گیری گردید، که نمودار مربوطه در شکل ۸ مشاهده می شود. ذرات در نرخ جریان پایین آب  $0.025 \text{ m/s}$  سرعت سقوط کمتری دارد. ولی در نرخ  $0.05 \text{ m/s}$  با سرعت  $7 \text{ m/s}$  در محیط سقوط می کند.

در شکل ۹ تأثیر سرعت جریان آب بر میزان نفوذ و مسیر حرکت سیال حفاری با دانسیته  $45 \text{ lb/ft}^3$  دور ریز شده از موقعیت های مختلف بر محیط، مشاهده می شود. در صورت ریزش از سطح آب به دلیل سرعت زیاد جریان آب و عدم وجود ارتفاع ریزش، سیال و ترکیبات از یکدیگر جدا شده

### نتیجه‌گیری

نتایج آزمایشات بررسی میزان نفوذ و انتشار پلوم سیالات حفاری در محیط‌های دریایی در شرایط مختلف جریان آب به شرح زیر خلاصه می‌شود:

- رقیق‌سازی پلوم سیالات سریعاً اتفاق می‌افتد و ترکیبات در الگوی انتشار مؤثر و اثرگذار است به طوری که با سنگین‌تر شدن سیال حفاری، زمان تهشیینی آنها افزایش و میزان پخش افقی آنها کمتر می‌شود.

- در مشاهدات مشخص شد که با گذشت زمان تخلیه و فاصله گرفتن از نقطه تخلیه، غلظت سیال حفاری کاهش و نیز پهنه‌ای گسترش پلوم افزایش می‌یابد.

- ترکیبات سیالات سبک وزن ( $45 \text{ lb/ft}^3$  و  $65 \text{ lb/ft}^3$ ) در حضور جریانات آب سریعاً از سیستم جدا شده و با حرکت به سمت بالا و سطح آب منتشر می‌شوند. در مقابل، ذرات بزرگ‌تر و سنگین‌تر به پایین سقوط می‌نمایند.

- مواد پلیمری که به عنوان محافظ و پوشش دهنده در سیستم سیالات استفاده شده‌اند، پس از ریزش سیال و نفوذ آب محیط اطراف در لابلای ترکیبات، از آن جدا می‌شود. لذا فازهای مختلفی از پخش و انتشار در سیالات مشاهده می‌گردد.

- تخلیه از زیر سطح آب پیوند و پوشش مناسب خاک رس توسط پلیمر، حرکت آن را به صورت طناب پیچیده درآورده و حرکت آن چندان قادر به نفوذ در لابلای ترکیبات نبوده و پیوند آنها را به هم نزد و گسترش و نفوذ آنها تقریباً خطی بوده و گسترش و پهنه‌ای پلوم در آن مشاهده نمی‌شود (شکل ریزش از زیر سطح آب).

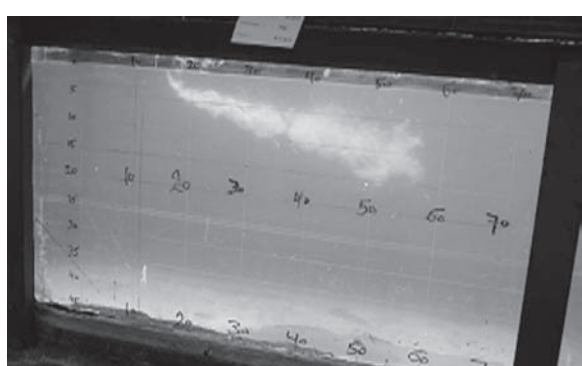
- سیال با دانسیته  $65 \text{ lb/ft}^3$  که در ترکیبات آن از جامدات با دانسیته متوسط و نیز محافظ پلیمری استفاده شده، نسبت به سیال با دانسیته  $45 \text{ lb/ft}^3$  میزان نفوذ عمیقی بیشتری دارد. لذا سریع‌تر به عمق تهشیینی رسیده و پخش می‌شود. سرعت جریان پایین آب موجب تسریع در تهشیینی در فواصل نزدیک به نقطه تخلیه و نیز تاخیر در گسترش عرضی آن می‌شود.

- در سرعت جریان  $0.05 \text{ m/Sec}$ ، عامل و علل انتشار، پخش و نیز نفوذ سیالات در حالت کلی همانند سرعت  $0.025 \text{ m/Sec}$  بوده ولی با زیاد شدن سرعت جریان آب،

و در موقعیت ریزش از سطح آب به ترتیب  $15$ ،  $5$  و  $4$  سانتی‌متر بوده و پس از گذشت  $240$  دقیقه با رقیق شدن در آب محیط، به ترتیب تا عمق  $6$ ،  $3$  و  $1 \text{ m}$  سطح آب بالا آمده و در همین مسیر حرکت می‌نمایند (شکل ۹ ب). در حالتی که سیال حفاری از زیر سطح آب به محیط تخلیه گردد، در سرعت‌های جریانی آب  $0.05$  و  $0.04 \text{ m/Sec}$  به ترتیب تا عمق  $12$ ،  $20$  و  $15 \text{ m}$  نفوذ کرده و پس از  $4$  دقیقه تا فاصله حدود  $4 \text{ m}$  از زیر سطح آب باقی می‌ماند (شکل ۹ ج).

در شکل ۱۰ تأثیر سرعت جریان آب بر میزان نفوذ و مسیر حرکت سیال حفاری با دانسیته  $65 \text{ lb/ft}^3$  دور ریز شده از موقعیت‌های بالا و زیر سطح آب مشاهده می‌شود. اگر سیال از بالای سطح آب تخلیه شود، در سرعت‌های جریانی  $0.025$ ،  $0.05$  و  $0.04 \text{ m/Sec}$  به ترتیب تا عمق  $50$ ،  $45$  و  $25 \text{ m}$  نفوذ کرده و با گذشت  $4$  دقیقه ( $240$  ثانیه) در همان عمق ادامه مسیر می‌دهد. یعنی امکان برگشت به سطح در این سیال وجود نخواهد داشت. (شکل ۱۰ الف). اگر سیال حفاری از زیر سطح آب به محیط تخلیه گردد، در سرعت‌های فوق، پس از  $5$ ،  $30$  و  $90$  دقیقه به عمق  $50 \text{ m}$  رسیده و با گذشت زمان در همان عمق و تحت جریانات مختلف آب ادامه مسیر می‌دهد (شکل ۱۰ ب).

در آزمایشات سعی شده با گذشت زمان تخلیه در محیط، از مسیر حرکت و نفوذ سیالات حفاری تصاویر و فیلمی تهیه شود. در شکل ۱۱ یک نمونه از تصاویر مربوط به مسیر واقعی حرکت سیال حفاری سبک وزن که با دور بین در زمان‌های مختلف گرفته شده است، مشاهده می‌شود. سرعت جریان، عمق نفوذ را کاهش داده و عرض پلوم را افزایش می‌دهد.



شکل ۱۱- تصاویر مسیر حرکت سیال حفاری سبک وزن

رسوب کرده به زمان ته‌نشینی اولیه با افزایش سرعت جریان آب افزایش می‌یابد. یعنی در سرعت  $0.025 \text{ m}/\text{Sec}$  پس از  $10 \text{ ثانیه}$  ولی در سرعت  $0.04 \text{ m}/\text{Sec}$  پس از  $120 \text{ ثانیه}$  اولین پدیده ته‌نشینی ترکیبات اتفاق می‌افتد.

- در ریزش از بالا و در سرعت  $0.04 \text{ m}/\text{Sec}$  هیچ نوع ته‌نشینی از ترکیبات مشاهده نمی‌شود.
- در ریزش از زیر سطح آب رسوب، و ته‌نشینی ترکیبات در همه سرعت‌ها در زمان‌های مختلف روی می‌دهد.
- ذرات در اثر نیروی تخلیه زیر سطح آب فرو رفته و در فواصلی بالا آمده و به طور افقی پخش می‌شوند سرعت جریان، عمق نفوذ را کاهش انداخته و عرض پلوم را افزایش می‌دهد.

## علایم و نشانه‌ها

$AV$ : گرانروی ظاهری سیال حفاری، ( $\text{cP}$ )

$PV$ : گرانروی پلاستیکی سیال حفاری، ( $\text{cP}$ )

$YP$ : نقطه واروی سیال حفاری، ( $\text{lb}/100 \text{ ft}^2$ )

$FL$ : افت صافی سیال، ( $\text{cc}/30 \text{ min}$ )

جدایی فازهای سیالات و تسريع شده و گسترش افقی از نقطه ریزش سریع تر می‌شود و بنابراین مواد سنگین تر دیرتر و نیز دورتر از نقاط ریزش ته‌نشین می‌شوند.

- سیال با دانسیته  $45 \text{ lb}/\text{ft}^3$  در سرعت جریان  $0.01 \text{ m}/\text{Sec}$  در ریزش از بالا در مقایسه با شرایط مشابه در سرعت‌های  $0.005 \text{ m}/\text{Sec}$  و  $0.025 \text{ m}/\text{Sec}$  الگوی نفوذ و انتشار کاملاً متفاوتی از خود نشان می‌دهد. از آنجائی که سرعت جریان آب زیاد می‌باشد، گسترش افقی سیالات سریع تر بوده و جامدات و ترکیبات در فواصل بسیار دورتری توزیع و شده و گسترش به سمت سطح آب متمایل می‌باشد.

- به هنگام ریزش سیال  $45 \text{ lb}/\text{ft}^3$  از بالا، با زیاد شدن سرعت جریان آب، عمق نفوذ و نیز سقوط ذرات کاهش یافته و با گذشت زمان، ته‌نشینی ترکیبات در آن مشاهده نمی‌شود یعنی سرعت جریان تأثیر عمده‌ای در انتشار عمودی آن دارد. در ریزش از سطح آب نیز زمان رسیدن ذرات به عمق ته‌نشینی با کاهش سرعت کمتر شده و رسوب ته‌نشینی انجام نمی‌گیرد.

- در سیال با دانسیته  $65 \text{ lb}/\text{ft}^3$  زمان ته‌نشینی جامدات

## مراجع

- [1]. سلیمانی م.، سیالات حفاری و کاربرد آن، پژوهشگاه صنعت نفت، ۱۳۷۸.
- [2]. Ayers R. C., Meek Jr., Saaer and stuebner R.P., D.O.(1980a), *An Environmental study to Assess the Effect of Drilling fluids on water Quality Parameters During High late*, High volume discharges to the ocean.
- [3]. سلیمانی م. مستندات گزارشات تجارت سرچاهی و آزمایشگاهی، پژوهشگاه صنعت نفت، ۱۳۸۰.
- [4]. Morovvati H., *Siltation in to the approach channel due to ebb & flood tidal current*, Technical report, Tehran,IRAN, 1990.
- [5]. Brandsma M. G and Sauer T. C., *Mud discharge model*, report & users Guide Exxon production Research Co. Houston, Texas, 1983.